

## برنامج STABILITY 3 بلغة Delphi لتحليل الاستقرار العابر لنظام قدرة كهربائية باستخدام طريقة تابع الطاقة العابرة

المهندس محمد عمار ساعاتي

الدكتور علي حمزة

قسم هندسة الطاقة الكهربائية  
كلية الهندسة الميكانيكية والكهربائية  
جامعة دمشق

### المخلص

تؤلف دراسة الاستقرار العابر إحدى أهم عمليات التخطيط التشغيلي لنظام القدرة الكهربائية. وينصب الاهتمام في مجال دراسة الاستقرار العابر على حساب زمن الفصل الحرج  $t_{cc}$  لعطل يصيب الشبكة في موقع ما منها. ونظراً لأن الطرق التخطيطية قد أبدت عجزها عن حساب هذا المحدد الهام، كان لا بد من استخدام طرق تحليلية حاسوبية تعتمد الحل العددي لمعادلات التآرجح التفاضلية العائدة لمولدات النظام. وعلى الرغم من أن هذه الطرق التحليلية التقليدية قد أعطت نتائج مقبولة، إلا أنه يعترها بعض السلبيات مثل الجهد الحسابي الكبير اللازم واستخدام طريقة التجربة والخطأ للحصول على  $t_{cc}$ . هذا البحث يقدم طريقة تحليلية غير تقليدية هي طريقة تابع الطاقة العابرة، ويبرهن قدرة هذه الطريقة على تحليل الاستقرار العابر بأقل جهد حسابي لا يتطلب حل معادلات التآرجح التفاضلية إلا مرحلة واحدة هي مرحلة في أثناء العطل.

يتضمن البحث عرض النموذج الرياضي وبناء خوارزمية عامة وتصميم وتنفيذ برنامج حاسوب STABILITY3 بلغة Delphi، والتثبت من صحته بواسطة تطبيقه على شبكات اختبارية، واستخدام البرنامج المنجز لدراسة الاستقرار لجزء من الشبكة السورية.

وحسب علمنا فإن هذه الورقة العلمية هي أول نص باللغة العربية في موضوع البحث، كما أن البرنامج المنجز هو برنامج راند في القطر.

### 1- مقدمة Introduction

تؤلف دراسة الاستقرار العابر لنظم القدرة الكهربائية إحدى أهم عمليات تخطيطها التشغيلي. وينصب الاهتمام في تحليل الاستقرار العابر على حساب زمن الفصل الحرج  $t_{cc}$  لعطل ما يصيب الشبكة في موقع منها. وتعتمد الطريقة التقليدية لتحليل الاستقرار العابر لنظام قدرة كهربائية على الحل العددي لمعادلات التآرجح التفاضلية لأجل حالات النظام الثلاث: قبل العطل، في أثناء العطل، بعد العطل. وقد قمنا في بحث سابق /1/ بتصميم وتنفيذ برنامج STABILITY1 لدراسة الاستقرار العابر لنظام قدرة كهربائية بسيط بهدف اختبار مدى ملائمة ثلاث من طرق التحليل العددي الشهيرة لحل معادلات التآرجح. كما أنجزنا في بحث آخر /2/ بناء خوارزمية عامة وتصميم وتنفيذ برنامج حاسوبي STABILITY2

لدراسة الاستقرار العابر لنظام قدرة متعدد الآلات بالاعتماد على طريقة Runge-Kutta في حل المعادلات التفاضلية للحالات الثلاث.

أعطت الطرق التقليدية المستخدمة نتائج مقبولة لزمن الفصل الحرج للقواطع الآلية بالإضافة إلى جواب "نعم" أو "لا" لاستقرار النظام. ولهذه الطرق ميزات أهمها أنها تسمح باعتماد نماذج رياضية لمركبات النظام بالدرجة المرغوب بها من حيث الدقة والتعقيد. إلا أن ثمة مساوئ لهذه الطرق مثل الجهد الحسابي الكبير اللازم والذي يزداد مع حجم النظام وتعقده والتفصيلات المطلوبة للنمذجة، بالإضافة إلى سلبية أخرى وهي أن هذه الطرق لا تسمح بتكوين تصور فيزيائي واضح للأداء الكيفي لجملة المعادلات التفاضلية، أو بالأحرى لاستجابة النظام لتغيرات ممكنة في محددات النظام (تحليل حساسية النظام).

هذا الوضع دفع إلى دراسة إمكانية استخدام طرق بديلة غير تقليدية مباشرة. ومن هذه الطرق غير التقليدية طريقة تابع الطاقة العابرة Transient Energy Function TEF لتحليل الاستقرار العابر لنظم القدرة الكهربائية. إحدى إيجابيات هذه الطريقة الهامة هي عدم الحاجة لحل معادلات تفاضلية إلا من أجل مرحلة في أثناء العطل فقط، ويتم تجنب التكامل المتكرر لمعادلات التآرجح لمرحلة بعد العطل بهدف حساب  $t_{cc}$  والذي يأخذ حصة الأسد في زمن الحساب الإجمالي في النمذجة الرقمية الصرفة. وهكذا يمكن توقع توفير زمن حساب كبير.

وتجدر الإشارة إلى أن هذا البحث هو أول نص باللغة العربية يتناول هذا الموضوع الهام، ومن ثم يُعد البرنامج الحاسوبي المنجز أول برنامج في القطر.

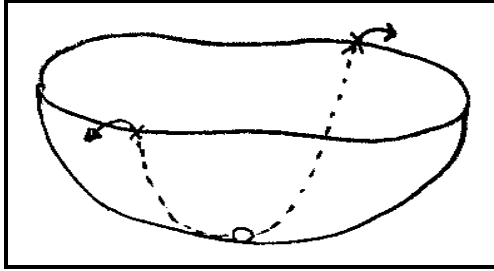
## 2 - وصف طريقة تابع الطاقة العابرة TEF

### Description of Transient Energy Function approach

تؤلف هذه الطريقة حالة خاصة من طريقة ليابونوف Lyapunov العامة إذ يؤلف تابع الطاقة أحد توابع ليابونوف الممكنة /3/.

### 1-2- تطبيق على الكرة المتدحرجة Rolling ball analogy /3/:

يمكن توضيح طريقة الطاقة العابرة باستخدام نظام مؤلف من كرة تتدحرج على السطح الداخلي لتجويف Bowl ما كما هو مبين في الشكل 1. تمثل المساحة داخل التجويف نطاق الاستقرار Region of stability، وتمثل المساحة خارج التجويف نطاق اللااستقرار Region of instability. نفرض أن حافة التجويف غير منتظمة الشكل؛ بحيث تقع المواضع المختلفة على الحافة على ارتفاعات مختلفة.



### الشكل 1 : كرة متدرجة على السطح الداخلي لتجويف

بداية تستقر الكرة في قاع التجويف مستقرة في موقع ندعوه نقطة التوازن المستقر (ن ت م) (Stable Equilibrium Point (SEP). عندما تُحقن الكرة بطاقة حركية ما Kinetic energy، تتحرك من مكانها على السطح الداخلي وفق مسار يحدده اتجاه الحركة الابتدائية. وستتوقف الكرة في نقطة ما معتمدة على كمية الطاقة الحركية الابتدائية المحقونة. إذا حولت الكرة كل الطاقة الحركية إلى طاقة كامنة قبل وصولها لحافة التجويف، فستعود الكرة ثانية إلى ن ت م. أما إذا كانت الطاقة الحركية المحقونة في الكرة كبيرة لدرجة تكفي لتجاوز الحافة، تدخل الكرة نطاق اللااستقرار وسوف لا تعود إطلاقاً إلى ن ت م.

إن السطح الداخلي للتجويف يمثل سطح الطاقة الكامنة Potential energy surface، وتمثل حافة التجويف سقف الطاقة الكامنة Potential Energy Boundary Surface (PEBS).  
تلتزم كميتان لتحديد إمكانية دخول الكرة نطاق اللااستقرار:

- أ- الطاقة الحركية الابتدائية المحقونة.
- ب- ارتفاع الحافة عند نقطة العبور، حيث يعتمد موقع نقطة العبور على اتجاه الحركة الابتدائية.

### 2-2- تطبيق على نظام قدرة كهربائية – نظرة عامة:

إن تطبيق طريقة تابع الطاقة العابرة على تحليل استقرار نظام القدرة يشابه من حيث المفهوم تطبيقها على الكرة المتدرجة في تجويف.

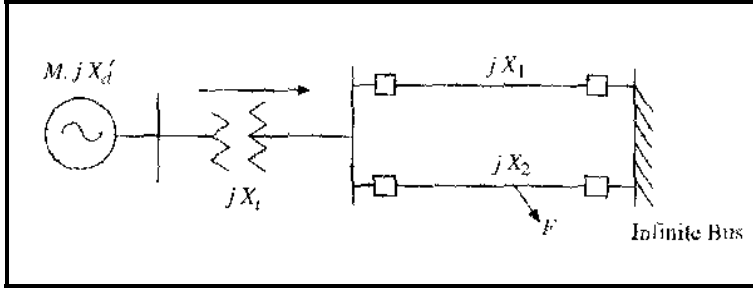
بداية يعمل نظام القدرة عند نقطة توازن مستقرة. عندما يحدث عطل، يختل التوازن وتتسارع المنوبات. في أثناء فترة العطل يكتسب نظام القدرة طاقة حركية تتحول تدريجياً إلى طاقة كامنة ويبتعد النظام عن ن ت م. بعد تحرير العطل يستمر تحول الطاقة الحركية إلى طاقة كامنة على نحو مشابه لتدرج الكرة صاعدة على سطح الطاقة الكامنة للتجويف. ولتجنب عدم الاستقرار، يتعين على النظام امتصاص الطاقة الحركية في الفترة الزمنية التي تقوم فيها القوى المؤثرة في المنوبات بدفع النظام إلى وضعيات توازن جديدة. إن تحقيق هذا الشرط يعتمد على قدرة نظام القدرة بعد العطل على امتصاص الطاقة. لأجل نظام قدرة "بعد العطل" معين، هناك كمية حرجة أو أعظمية من الطاقة العابرة يستطيع النظام امتصاصها وندعوها الطاقة الحرجة Critical Energy.

تأسيساً على ذلك، يتطلب تقيّم وتقدير الاستقرار العابر:

- أ- توابع تصف على نحو كافٍ الطاقة العابرة المسؤولة عن فصل واحدة أو أكثر من المنوبات عن بقية النظام.
- ب- تقدير قيمة الطاقة الحرجة.

### 3 النموذج الرياضي Mathematical model:

لأجل نظام قدرة ذي باسين (الشكل 2) مؤلف من خطين على التفرع يربطان منوبة عبر محول إلى باس لا نهائي، يحصل عطل متوازن في منتصف أحد الخطين في اللحظة  $t = 0$ ، ويحرر العطل في اللحظة  $t = t_c$ .



الشكل 2 : شبكة مولد - باس لانهاى

نقطة التشغيل الابتدائية تكون عند  $\delta = \delta_0$ .

سنقوم في هذه الفقرة بحساب تابع الطاقة العابرة لنظام القدرة بعد تحرير العطل، ثم سنجري مقارنة بين طريقة المساحات المتساوية وطريقة تابع الطاقة /4/.

### 1-3 حساب تابع الطاقة لنظام قدرة ذي باسين: /4/

يبين الشكل 3 منحنيات الاستطاعة - زاوية للنظام ومنحني الطاقة الكامنة (منحنيات توضيحية فقط) للشبكة المبينة في الشكل 2.

معادلة التآرجح للنظام بعد العطل Post fault system هي:

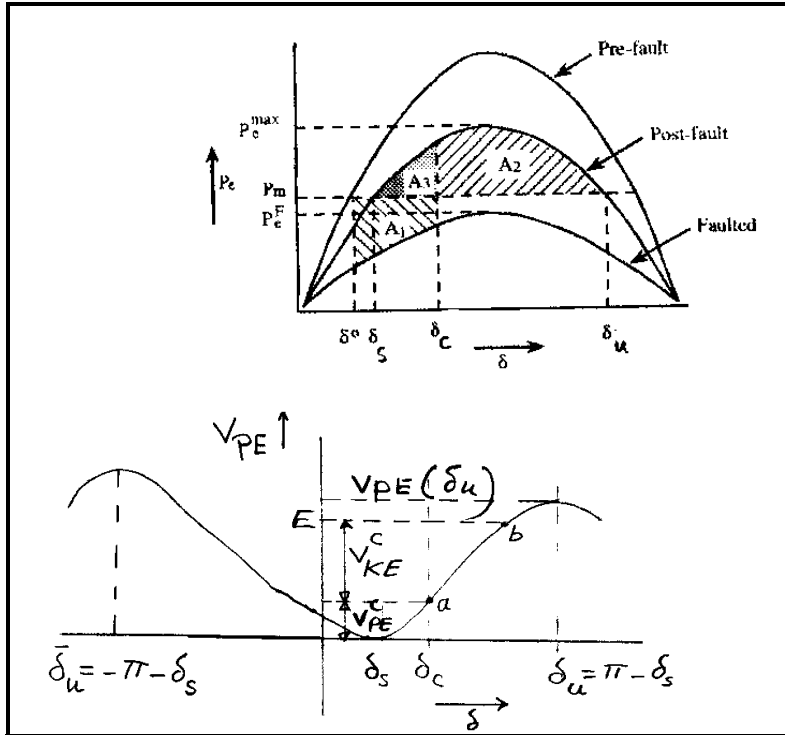
$$M \frac{d^2\delta}{dt^2} = P_m - P_e^{\max} \sin \delta \quad (1)$$

حيث:

$$\frac{H}{\pi f} = M = \text{ثابت العطالة بالوحدة}$$

$$\frac{d\delta}{dt} = \omega = \text{السرعة النسبية للدوار}$$

$\delta$  = زاوية دوار المنوبة نسبة إلى الباس اللانهاى.



الشكل 3: منحني استطاعة زاوية و منحني الطاقة الكامنة للشبكة المبينة في الشكل 1

الطرف الأيمن من المعادلة السابقة (1) يمكن اعتباره مشتقاً جزئياً للطاقة الكامنة  $\left(-\frac{\partial V_{PE}}{\partial \delta}\right)$  ومنه:

$$V_{PE}(\delta) = -P_m \delta - P_e^{\max} \cos \delta \quad (2)$$

نضرب طرفي المعادلة (1) بـ  $\frac{d\delta}{dt}$  وباعتبار المعادلة (2) نجد:

$$\frac{d}{dt} \left[ \frac{M}{2} \left( \frac{d\delta}{dt} \right)^2 + V_{PE}(\delta) \right] = 0$$

أي:

$$\frac{d}{dt} \left[ \frac{1}{2} M \omega^2 + V_{PE}(\delta) \right] = 0$$

أو اختصاراً:

$$\frac{d}{dt} [V(\delta, \omega)] = 0 \quad (3)$$

وعليه فتابع الطاقة لنظام القدرة بعد تحرير العطل هو:

$$V(\delta, \omega) = \frac{1}{2} M \omega^2 + V_{PE}(\delta) \quad (4)$$

يتضح من المعادلة (3) أن الكمية  $V(\delta, \omega)$  هي كمية ثابتة.

تعطي نقطة التوازن بحل المعادلة:

$$0 = P_m - P_e^{\max} \sin \delta$$

لنحصل على:

$$\delta_s = \sin^{-1} \left( \frac{P_m}{P_e^{\max}} \right)$$

هذه النقطة هي نقطة توازن مستقر وهي محاطة بنقطة توازن غير مستقر هما:

$$\delta_u = \pi - \delta_s \quad \text{و} \quad \bar{\delta}_u = -\pi - \delta_s$$

إذا أجرينا تغييراً في الإحداثيات بحيث:

$$V_{PE} = 0 \quad \text{لأجل} \quad \delta = \delta_s, \quad \text{و استخدمنا المعادلة 2 لأجل} \quad \delta = \delta_s \quad \text{ثم طرحناها من 2 نجد:}$$

$$V_{PE}(\delta, \delta_s) = -P_m(\delta - \delta_s) - P_e^{\max}(\cos \delta - \cos \delta_s) \quad (5)$$

وعليه يصبح تابع الطاقة:

$$V(\delta, \omega) = \frac{1}{2} M \omega^2 - P_m(\delta - \delta_s) - P_e^{\max}(\cos \delta - \cos \delta_s) \quad (6)$$

$$= V_{KE} + V_{PE}(\delta, \delta_s)$$

حيث:

$$V_{KE} = \frac{1}{2} M \omega^2$$

$$V_{PE} = V_{PE}(\delta, \delta_s)$$

إن تابع الطاقة  $V(\delta, \omega)$  يساوي الثابت  $E$  حيث  $E$  هو مجموع الطاقتين الحركية والكامنة، ويستمر تابع الطاقة ثابتاً حتى لحظة تحرير العطل  $t_c$ ، باعتبار أن النظام محافظ Conservative.

إن  $V(\delta, \omega)$  لأجل  $t = t_c$  محسوبة من معادلة النظام في أثناء العطل في اللحظة  $t = t_c$  (أي نهاية فترة العطل) تمثل في الواقع الطاقة الإجمالية  $E$  الموجودة في نظام القدرة في اللحظة  $t = t_c$ . نقول: إن النظام مستقر إذا استطاع أن يمتص هذه الطاقة بعد تحرير العطل. الطاقة الحركية موجبة دوماً، وهي الفرق بين  $E$  و  $V_{PE}(\delta, \delta_s)$  كما هو مبين في الشكل 3.

لأجل  $\delta = \delta_s$  (نقطة التوازن المستقر بعد العطل)، يكون كل من  $V_{KE}$  و  $V_{PE}$  مساوياً للصفر، وذلك لأن  $\omega = 0$  و  $\delta = \delta_s$  حيث  $\omega$  هي انحراف السرعة عن السرعة التزامنية.

نفرض أنه في نهاية فترة العطل  $t = t_c$  يكون  $\delta = \delta_c$  و  $\omega = \omega_c$  فنجد:

$$V(\delta_c, \omega_c) = \frac{1}{2} M \omega_c^2 - P_m(\delta_c - \delta_s) - P_e^{\max}(\cos \delta_c - \cos \delta_s) \quad (7)$$

$$= V_{KE}^c + V_{PE}^c = E$$

الطاقة الكامنة المعدومة عند  $\delta = \delta_s$  تصل إلى قمتين عند نقطتي التوازن غير المستقر  $\delta = \delta_u$  و  $\delta = \bar{\delta}_u$ . ونميز هنا حالتين:

• لأجل  $E < V_{PE}(\delta_u)$  يتسارع النظام حالما يتم تحرير العطل من النقطة  $a$  (أي من  $\delta = \delta_c$ ) حتى النقطة  $b$  (حيث  $V_{PE} = E$ )، وبعدها يبدأ بالتباطؤ. (النظام مستقر).

• لأجل  $E > V_{PE}(\delta_u)$  يتسارع النظام إلى ما بعد  $\delta_u$  مما يشير إلى عدم استقرار النظام.

تحسب  $V_{PE}(\delta_u)$  من المعادلة (5):

$$V_{PE}(\delta_u) = -P_m(\pi - 2\delta_s) + 2P_e^{\max} \cos \delta_s$$

وتجدر الإشارة إلى أن النظام يكون غير مستقر أيضاً عندما تتناقص  $\delta$  بسبب التباطؤ لأجل  $t > 0$  في الوقت الذي يكون فيه  $E > V(\bar{\delta}_u)$ .

وكننتيجة نقول: إذا تآرجح دوار المنوبة ضمن المجال  $\delta_u$  إلى  $\bar{\delta}_u$  فالنظام يحافظ على استقراره. وإذا امتد التآرجح إلى خارج هذا المجال، يصبح النظام غير مستقر. لذا تشكل النقطتان  $\delta_u$  و  $\bar{\delta}_u$  حداً (boundary) أو سقفاً لمسارات زاوية الدوار المستقرة. هذا الحد نسميه سقف الطاقة الكامنة وتمثل النقطتان على منحنى الطاقة الكامنة قماً نسبياً Relative peaks. يصوغ بعض الباحثين معيار الاستقرار العابر السابق ذكره بشكل آخر:

إذا اعتبرنا الطاقة الكامنة  $V_{PE}$  صفراً عند  $\delta_c$ ، فإن  $V_{KE}^c$  تمثل الطاقة الحركية الزائدة المحقونة في النظام. ويتعلق استقرار النظام بمقدرة النظام بعد العطل على امتصاص الطاقة الحركية الزائدة، أي يكون النظام مستقراً إذا تحقق الشرط:

$$V_{PE}(\delta_u) - V_{PE}(\delta_c) > V_{KE}^c$$

يمكن استخدام مفهوم تابع الطاقة لفحص استقرار نقاط التوازن  $(\bar{\delta}_u, \delta_u, \delta_s)$  لأجل اضطرابات صغيرة. من المعادلات (2) و (1) نجد:

$$M \frac{d^2\delta}{dt^2} = - \frac{\partial V_{PE}(\delta)}{\partial \delta} \quad (8)$$

ننشر الطرف الأيمن للمعادلة (8) وفق سلسلة تايلور حول نقطة توازن ما  $\delta^*$ ، أي لأجل  $\delta = \delta^* + \Delta\delta$ ، ونبقى فقط على الحد الخطي:

$$M \frac{d^2\Delta\delta}{dt^2} = - \frac{\partial V_{PE}(\delta)}{\partial \delta} \Big|_{\delta^*} \Delta\delta \quad (9)$$

أو:

$$M \frac{d^2\Delta\delta}{dt^2} + \frac{\partial^2 V_{PE}(\delta)}{\partial \delta^2} \Big|_{\delta^*} \Delta\delta = 0 \quad (10)$$

ونميز حالتين:

- لأجل  $0 < \frac{\partial^2 V_{PE}(\delta)}{\partial \delta^2} \Big|_{\delta^*}$  يكون التوازن غير مستقر.
- لأجل  $0 > \frac{\partial^2 V_{PE}(\delta)}{\partial \delta^2} \Big|_{\delta^*}$  تحصل اهتزازات حول  $\delta^*$  وتكون هذه الاهتزازات متخامدة بسبب التخامد في النظام، ومن ثمّ فالنظام مستقر.



وباستخدام هذا المعيار يمكن التحقق من أن  $\delta_s$  هي نقطة توازن مستقر، و  $\delta_u$  و  $\bar{\delta}_u$  نقطتا توازن غير مستقر.

### 2-3 المقارنة بين طريقة المساحات المتساوية وطريقة تابع الطاقة:

إشارة إلى الشكل (3) سنبرهن أن المساحة  $A_1$  تمثل الطاقة الحركية المحقونة في النظام في أثناء العطل والمشار إليها بالرمز  $V_{KE}(\delta_c)$ . أما  $A_2$  فتتمثل مقدرة النظام بعد العطل على امتصاص هذه الطاقة، أي أن  $A_2$  تمثل:

$$V_{PE}(\delta_u) - V_{PE}(\delta_c)$$

معيار الاستقرار في طريقة المساحات المتساوية هو:

النظام مستقر لأجل  $A_1 < A_2$ .

معادلات التارجح للنظام هي:

□ في أثناء العطل:

$$M \frac{d^2\delta}{dt^2} = P_m - P_e^F \sin \delta \quad (11)$$

□ بعد العطل:

$$M \frac{d^2\delta}{dt^2} = P_m - P_e^{\max} \sin \delta \quad (12)$$

وعليه:

$$\begin{aligned} A_1 &= \int_{\delta_0}^{\delta_c} (P_m - P_e^F \sin \delta) d\delta \\ &= \int_{\delta_0}^{\delta_c} M \frac{d\omega}{dt} d\delta = \int_{\delta_0}^{\delta_c} M \frac{d\omega}{dt} \omega dt \\ &= \int_0^{\omega_c} M \omega d\omega = \frac{1}{2} M (\omega_c)^2 \end{aligned} \quad (13)$$

إذا  $A_1$  هي الطاقة الحركية المحقونة في النظام من جراء العطل.

$$\begin{aligned} A_2 &= \int_{\delta_c}^{\delta_u} (P_e^{\max} \sin \delta - P_m) d\delta \\ &= -P_e^{\max} (\cos \delta_u - \cos \delta_c) - P_m (\delta_u - \delta_c) \\ &= V_{PE}(\delta_u) - V_{PE}(\delta_c) \end{aligned}$$

نضيف  $A_3$  إلى طرفي المعيار  $A_1 < A_2$ :

$$A_1 + A_3 < A_2 + A_3 \quad (14)$$

$$\begin{aligned} A_3 &= \int_{\delta_s}^{\delta_c} (P_e^{\max} \sin \delta - P_m) d\delta \\ &= -P_m (\delta_c - \delta_s) - P_e^{\max} (\cos \delta_c - \cos \delta_s) P_m \end{aligned} \quad (15)$$

بتغيير  $\delta_c$ ،  $\omega_c$  إلى  $\delta$ ،  $\omega$  لا على التعيين، وبإضافة  $A_1$  إلى  $A_3$  نجد:

$$A_1 + A_3 = \frac{1}{2} M \omega^2 - P_m (\delta - \delta_s) - P_e^{\max} (\cos \delta - \cos \delta_s) \quad (16)$$

وهذه المعادلة تماثل المعادلة (6) تماماً.

$$\begin{aligned} A_2 + A_3 &= \int_{\delta_s}^{\pi - \delta_s} (P_e^{\max} \sin \delta - P_m) d\delta \\ &= 2 P_e^{\max} \cos \delta_s - P_m (\pi - 2 \delta_s) \end{aligned} \quad (17)$$

من المعادلة (6) نجد:

$$\begin{aligned} V(\delta = \delta_u, \omega = 0) &= -P_m (\pi - 2 \delta_s) + 2 P_e^{\max} \cos \delta_s \\ &= A_2 + A_3 \\ &= V_{PE}(\delta_u) \\ &= V_{cr} = \text{الطاقة الحرجة} \end{aligned} \quad (18)$$

وعليه فالمعيار  $A_1 < A_2$  المكافئ للمعيار (14)، هو مكافئ للمعيار حسب طريقة توابع الطاقة:

$$V(\delta, \omega) < V_{cr} \quad (19)$$

حيث الطاقة الحرجة  $V_{cr}$  تساوي الطاقة الكامنة عند  $\delta = \delta_u$ .

وتجدر الملاحظة أن  $\delta$  و  $\omega$  تحسبان من معادلة التارجح في أثناء العطل.

#### 4- الخوارزمية The algorithm

انطلاقاً من النموذج الرياضي لتحليل الاستقرار العابر لنظام قدرة كهربائية باستخدام طريقة تابع الطاقة العابرة، تم بناء خوارزمية مناسبة لتنفيذها على الحاسوب. ويبين الشكل 4 هذه الخوارزمية كمخطط انسيابي.

إن الهدف النهائي لتحليل الاستقرار العابر هو حساب اللحظة الزمنية  $t_{cc}$  الحرجة لتحرير العطل (زمن

الفصل الحرج). وللوصول لهذا الهدف نتبع الخطوات الأساسية الآتية:

أ- حساب تابع الطاقة العابرة  $V(\delta, \omega)$  من المعادلة (6).

ب- حساب الطاقة الحرجة  $V_{cr}$  لأجل  $\delta = \delta_u$  و  $\omega = 0$ . وهذه الطاقة تعتمد على العطل المفترض.

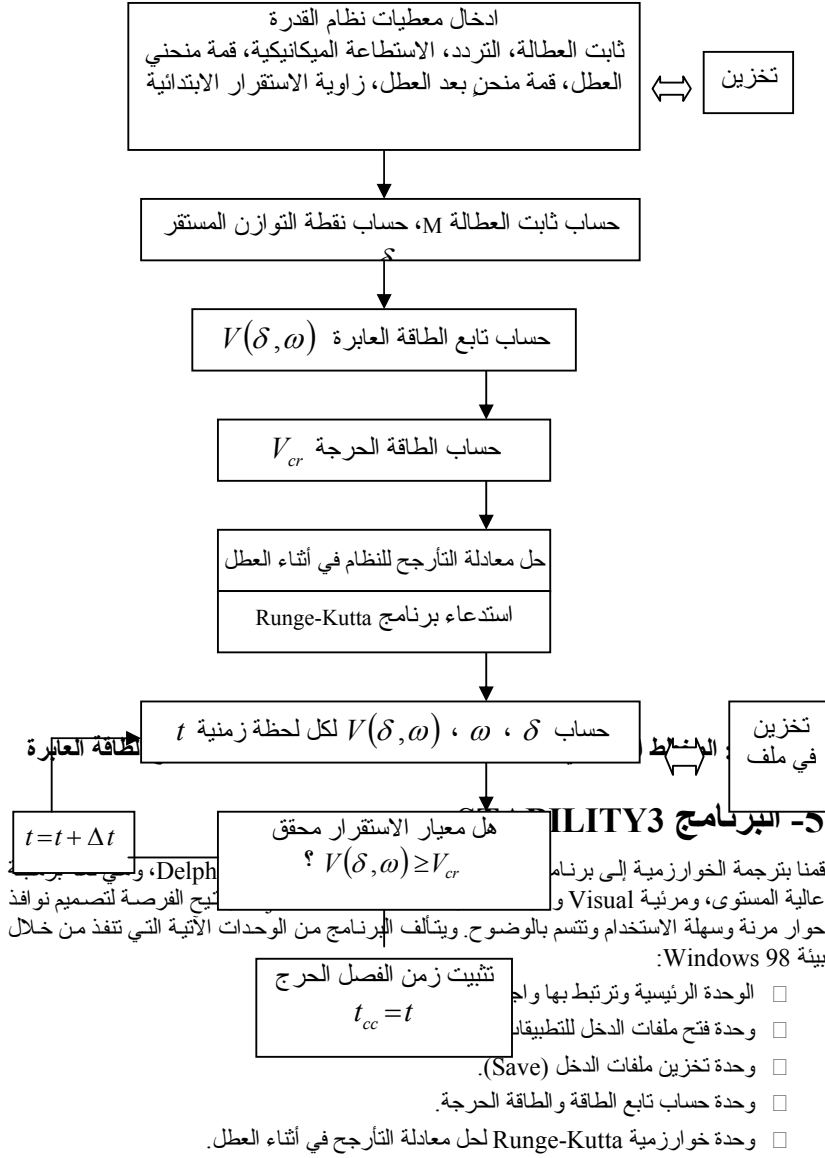
ج- حل معادلة التآرجح في أثناء العطل، وهي:

$$\frac{d^2\delta}{dt^2} = P_m - P_e^F \sin \delta$$

ونستخدم لحل هذه المعادلة التفاضلية طريقة Runge-Kutta التي أثبتنا جدواها خلال بحثنا السابق /1/. يستمر تنفيذ الحل العددي للمعادلة التفاضلية حتى يتحقق شرط الاستقرار العابر الذي توصلنا إليه سابقاً:

$$V(\delta, \omega) < V_{cr}$$

وتكون اللحظة التي يتحقق عندها هذا الشرط هي لحظة الفصل الحرج  $t_{cc}$ .



□ وحدة طباعة النتائج.

## 6- تطبيقات عملية:

### 6-1 التثبيت من صحة البرنامج بتطبيقه على شبكة كهربائية اختيارية /3:

محطة توليد حرارية مؤلفة من أربع وحدات (لكل وحدة 555MVA, 24KV, 60HZ) تغذي الطاقة إلى باس لانهائي عبر خطي نقل على التفرع كما هو مبين في الشكل 5 .

□ كميات الأساس: 24KV ، 2220MVA .

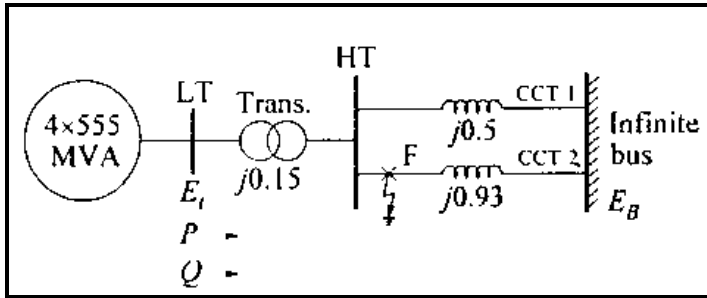
□ المولد المكافئ للمحطة: استطاعة 2220MVA ،  $X'_d = 0.3$  ،  $H = 3.5 \text{ sec}$  .

□ ظروف التشغيل الابتدائية:

$$P = 0.9 : Q = 0.436 : E = 1 \angle 28.34^\circ : V = 0.90081 \angle 0^\circ$$

يحصل عطل متوازن مباشر في النقطة F (باس الإرسال)، ويتم تحرير العطل بعزل الخط المعطل كلياً.

أدرس الاستقرار العابر للنظام بطريقة تابع الطاقة العابرة ثم بالطريقة التقليدية وقارن نتائج الطريقتين.



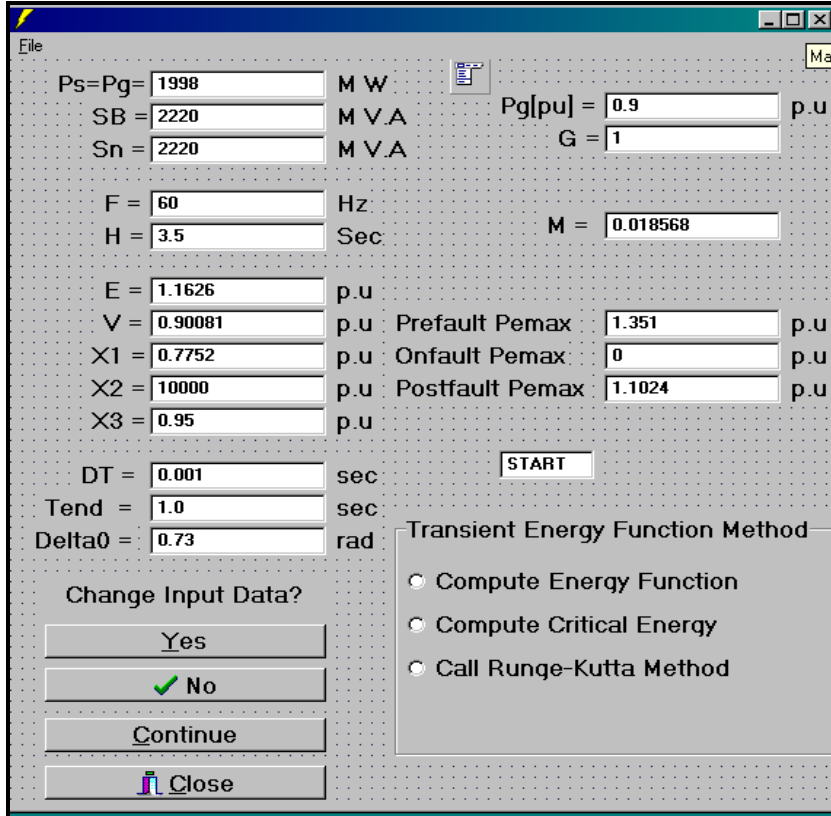
الشكل 5 : الشبكة الاختبارية

### الحل باستخدام البرنامج المنجز STABILITY3 (الطريقة الجديدة):

ندخل معطيات النظام وفق نافذة الحوار المبينة بالشكل 6.  $X_1$  و  $X_2$  و  $X_3$  هي مفاعلات النقل قبل العطل وفي أثنائه وبعده. ويتيح البرنامج إمكانيتين: إدخال قيم المفاعلات (عندها تحسب قيم منحنى الاستطاعة- زاوية للحالات الثلاث) أو إدخال قيم القمم (عندها تحسب المفاعلات). يتم الحساب ألياً وفق المعادلة المعروفة  $p^{\max} = E \cdot V / X$  = القمة.

نتائج الحساب مبينة في الشكل 7، ومنه نرى أن لحظة الفصل الحرج للعطل يجب أن لا تتعدى 86.8ms، وهي اللحظة التي يكون فيها تابع الطاقة أصغر قليلاً من الطاقة الحرجة (0.1651). ونلاحظ أن هامش

الاستقرار - و هو الفرق بين الطاقة الحرجة و تابع الطاقة للحظة الزمنية المعتبرة - صغير  
 ويساوي:  $0.1651 - 0.1649 = 0.0002$



الشكل 6: نافذة الحوار الرئيسية للتطبيق 1-5

<b>Program STABILITY3</b>					
<b>Transient Stability Analysis by Transient Energy Function (TEF) Method</b>					
Designed by Prof. Dr.-Ing. Ali Hamzeh, Dipl.Eng. Ammar SaatiH.					
أ. د. علي حمزة      م. محمد عمار ساعاتي					
Damascus University, Department of Electrical Engineering					
<b>Example 1</b>			<b>Date:01.04.2001</b>		
<b>Input Data</b>					
		Integration Step = .0001 sec		Maximum Integration Period = .1 sec	
<b>F</b>	<b>Pm</b>	<b>Pemax-Onfault</b>	<b>Pemax-Postfault</b>	<b>H-inertia</b>	<b><math>\delta_0</math></b>
60	.9 pu	0 pu	1.1024 pu	3.5 sec	0.73 rad
<b>Results</b>					
					$\delta_s = .9551504$ rad
					$V_{cr} = .1650779$
	<b>t</b>	<b><math>\delta</math></b>	<b><math>\omega</math></b>	<b>V(<math>\delta, \omega</math>)</b>	
	[sec]	[Rad]	[Rad/sec]	[pu]	
	0.0000	0.7300	0.0000	.....	
	0.0001	0.7300	0.0048	0.0178	
	0.0002	0.7300	0.0097	0.0178	
	0.0003	0.7300	0.0145	0.0178	
	0.0004	0.7300	0.0194	0.0178	
	0.0005	0.7300	0.0242	0.0178	
	0.0006	0.7300	0.0291	0.0178	
	0.0007	0.7300	0.0339	0.0178	
	0.0008	0.7300	0.0388	0.0178	
	0.0009	0.7300	0.0436	0.0178	
	0.0010	0.7300	0.0485	0.0178	
	0.0011	0.7300	0.0533	0.0178	
				.....	
				.....	
	0.0863	0.9105	4.1830	0.1631	
	0.0864	0.9109	4.1878	0.1635	
				<b>t<sub>cc</sub> = 0.0868 sec</b>	
	0.0865	0.9113	4.1927	0.1638	
	0.0866	0.9118	4.1975	0.1642	
	0.0867	0.9122	4.2024	0.1646	
	0.0868	0.9126	4.2072	0.1649	
0.0869	0.9130	4.2121	0.1653		

الشكل 7 : خرج البرنامج STABILITY3 للشبكة الاختبارية

### الحل باستخدام الطريقة التقليدية

بغرض المقارنة بين الطريقتين الجديدة والتقليدية نقدم هنا الحل بالطريقة التقليدية و بواسطة برنامجنا المنجز في بحث سابق /1/ و بمقاطعة النتائج بواسطة Matlab /5/. خوارزمية الحل هنا تقتضي حل معادلات التآرجح الثلاث للنظام ورسم منحنى التآرجح لأجل أزمان فصل مختلفة ومراقبة أول منحنى بيدي تزايداً مستمراً لزاوية الاستقرار مع الزمن. نكرر الحساب ونرسم منحنيات التآرجح ونرصد زمن الفصل الحرج بطريقة التجربة والخطأ.

ندخل معطيات الدخل في النافذة الرئيسية ونختار طريقة Runge-Kutta و نباشر الحساب (الشكل 8).

The screenshot shows the main window of the STABILITY 3 software. It contains a grid of input fields for various parameters. The parameters and their values are as follows:

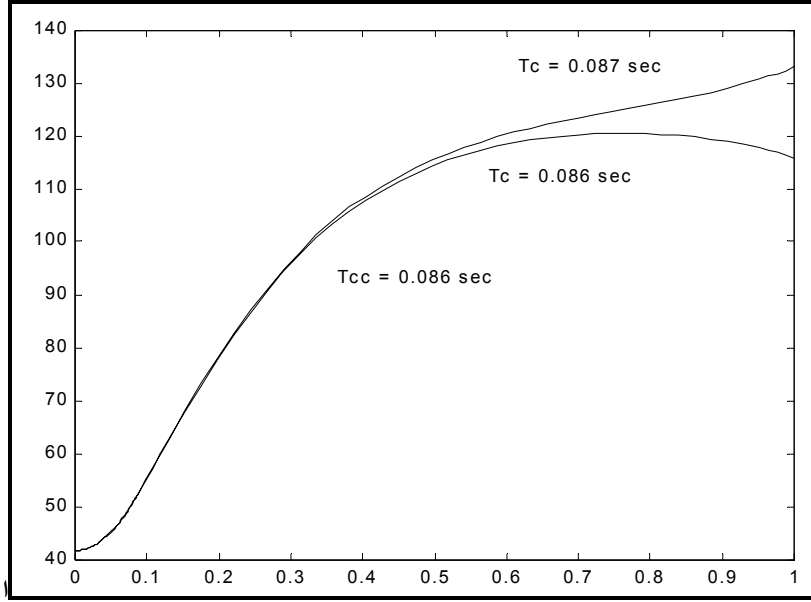
Ps=Pg=	18	M W	Pg[pu]	0.9	p.u
SB =	20	M V.A	G =	1	p.u
Sn =	20	M V.A			
F =	60	Hz	M =	0.01856807464663	
H =	3.5				
E =	1.1626	p.u	Pmax =	1.35096759545924	
V =	0.9008	p.u	Pmax1 =	0.000104727008	p.u
X1 =	0.7752	p.u	Pmax2 =	1.10238955789474	p.u
X2 =	10000	p.u			
X3 =	0.95	p.u			
DT =	0.001	sec	D =	5.38558799999999	
Tend =	0.95	sec			
TETAO =	0.73	rad			

Below the input fields, there is a dialog box asking "Do You Want To Change The Values ?". It has buttons for "Yes", "OK", "Continue", and "Close". To the right, there is a section titled "Choose One Method" with three radio buttons: "Step By Step Method", "Runge Kutta Method" (which is selected), and "Euler Method".

الشكل 8: نافذة الحوار الرئيسية للحل التقليدي

منحنيات التآرجح المحسوبة بالحاسوب والعاذة لثلاثة أزمان فصل في الفترة الحرجة مبينة في الشكل 9.





شكل 9 : منحنيات التآرجح للشبكة الاختبارية حسب الطريقة التقليدية

#### المقارنة:

على الرغم من أن النتيجتين متماثلتان، إلا أن الوصول إلى النتيجة بالطريقة الجديدة أسهل وأسرع من الطريقة التقليدية. إذ إن عملية التجربة والخطأ تحتاج لزمناً أطول، بالإضافة إلى إمكانية الوقوع في الخطأ. أما الطريقة الجديدة فتعطي نتيجة دقيقة وبشكل آلي من قبل البرنامج مباشرة. لذلك نسمي الطريقة الجديدة طريقة مباشرة Direct method ونقدر زمن التحضير والحساب للطريقة الجديدة بقرابة 60% من الزمن للطريقة التقليدية.

#### 6 - 2 تطبيق من الشبكة السورية:

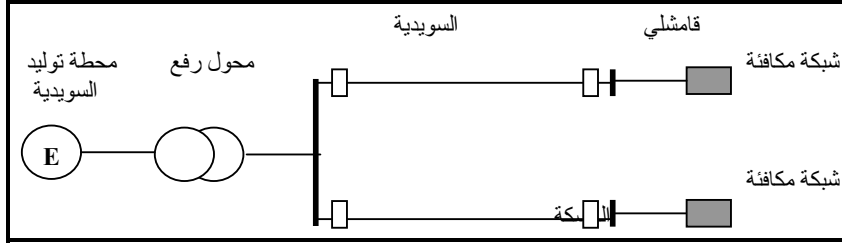
المطلوب دراسة الاستقرار العابر لمولدات محطة السويدية (الشكل 10) في حالة حصول عطل متناظر على خط السويدية - قامشلي أو خط السويدية - الحسكة. تحوي المحطة 5 مولدات عنفية (عنفات غازية) و 5 محولات رافعة للتوتر.

مواصفات كل مولد :  $S_n = 37.5 \text{ MVA}$ ,  $V_n = 10.5 \text{ kV}$ ,  $X'_d = 0.246 \text{ pu}$ ,  $H = 3.7 \text{ sec}$

مواصفات كل محولة :  $S_n = 42 \text{ MVA}$ ,  $10.5/230 \text{ kV}$ ,  $X_t = 6.84\%$

خط السويدية - قامشلي :  $l = 89.9 \text{ km}$ ,  $X = 0.413 \text{ Ohm/km}$  ، خط السويدية - الحسكة :  $l = 136$

km,  $X = 0.413 \text{ Ohm/km}$



الشكل 10: مخطط الخط الواحد للشبكة الكهربائية في منطقة السويدية - قامشلي - الحسكة

نختار استطاعة أساس 100 MVA وتوتر أساس 230 kV في منطقة خطوط النقل. ونظرا لأن المولدات الخمس تتأرجح معا فنكافئها بمولد مكافئ مواصفاته منسوبة للأساس الجديد:

$$X'_d = 0.1312 \text{ pu}, H = 7.77 \text{ sec}, E' = 1.1, \delta_1 = 15.47 \text{ deg}$$

$$\text{المحول المكافئ: } X_t = 0.163 \text{ pu}, \text{ خط القامشلي: } X = 0.07 \text{ pu},$$

$$\text{خط الحسكة: } X = 0.106 \text{ pu}$$

نستعويض عن بقية الشبكة الخارجية المرئية من باس القامشلي بشبكة لانهاية توترها  $V = 1$  بزاوية صفر خلف مفاعلة تحسب قيمتها بدلالة استطاعة القصر لباس القامشلي  $S''_{k,Qam}$  من العلاقة:

$$X_{n,Qam} = 1.1 \times 230^2 / S''_{k,Qam} = 0.09 \text{ pu}$$

كما نستعويض عن بقية الشبكة الخارجية المرئية من باس الحسكة بشبكة لانهاية توترها  $V = 1$  بزاوية صفر خلف مفاعلة

تحسب قيمتها بدلالة استطاعة القصر لباس الحسكة  $S''_{k,Has}$  من العلاقة:

$$X_{n,Qam} = 1.1 \times 230^2 / S''_{k,Has} = 0.07 \text{ pu}$$

استطاعات القصر لباسات الشبكة السورية كافة حسبت من قبل المؤلفين بواسطة برنامج حسابات الأعطال المصمم من قبلهم، وكانت القيم للباسات موضع الاهتمام:

$$S''_{k,Qam} = 1241 \text{ MVA}, S''_{k,Has} = 1669.944 \text{ MVA}.$$

نفرض حصول العطل المتناظر في منتصف خط القامشلي و نحسب مفاعلات النقل قبل العطل وفي أثنائه وبعده:

$$X_1 = 0.2442 \text{ pu}, X_2 = 1.066 \text{ pu}, X_3 = 0.3402 \text{ pu}.$$

ونفرض أن المحطة تقدم استطاعة فعلية مقدارها 120 MW.

### الحل باستخدام البرنامج STABILITY3 الطريقة الجديدة:

ندخل معطيات الشبكة السورية، ونبدأ الحساب من خلال شاشة الحوار المبينة في الشكل 12.

استخدمنا في الحساب خطوة تكامل أولية كبيرة نسبياً (0.05) لتقليل زمن الحساب فحصلنا على زمن فصل حرج أولي (0.500) ثم أكملنا الحساب بخطوة أصغر (0.01)، و تبين من نتائج الحاسوب المبينة في (الشكل 13) أن زمن الفصل الحرج هو 520 ms. وهذه النتيجة تشير إلى وجود هامش استقرار كبير لمولدات السويدية، إذ إنَّ العطل يمكن أن يدوم أكثر من 520 ميلي ثانية، وهذا الزمن بالطبع أكبر بثلاث مرات على الأقل من الزمن الأصغري لاستجابة حمايات الخطوط في الشبكة السورية (زمن استجابة نظام حماية الخط في الشبكة السورية بما فيها استجابة المرحلات المسافية و استجابة تماسات القواطع الآلية قرابة 150 ميلي ثانية).

The screenshot displays the main window of the STABILITY 3 software. The window has a menu bar with 'File' and a toolbar with a help icon. The interface is divided into several sections:

- Input Parameters:** A grid of text boxes for entering values. The values shown are: Ps=Pg=120 MW, SB=100 MVA, Sn=100 MVA, F=50 Hz, H=7.77 Sec, E=1.1 p.u, V=1 p.u, X1=0.2442 p.u, X2=1.066 p.u, X3=0.3402 p.u, DT=0.05 sec, Tend=1.0 sec, Delta0=0.27 rad, Pg[pu]=1.2 p.u, G=1, M=0.0495, Prefault Pemax=4.5045 p.u, Onfault Pemax=1.0319 p.u, and Postfault Pemax=3.2334 p.u.
- Buttons:** A 'START' button is located below the input fields. At the bottom left, there are four buttons: 'Change Input Data?' (with sub-buttons 'Yes', 'No', 'Continue', and 'Close').
- Transient Energy Function Method:** A section on the right with a title bar and three radio button options: 'Compute Energy Function' (which is selected), 'Compute Critical Energy', and 'Call Runge-Kutta Method'.

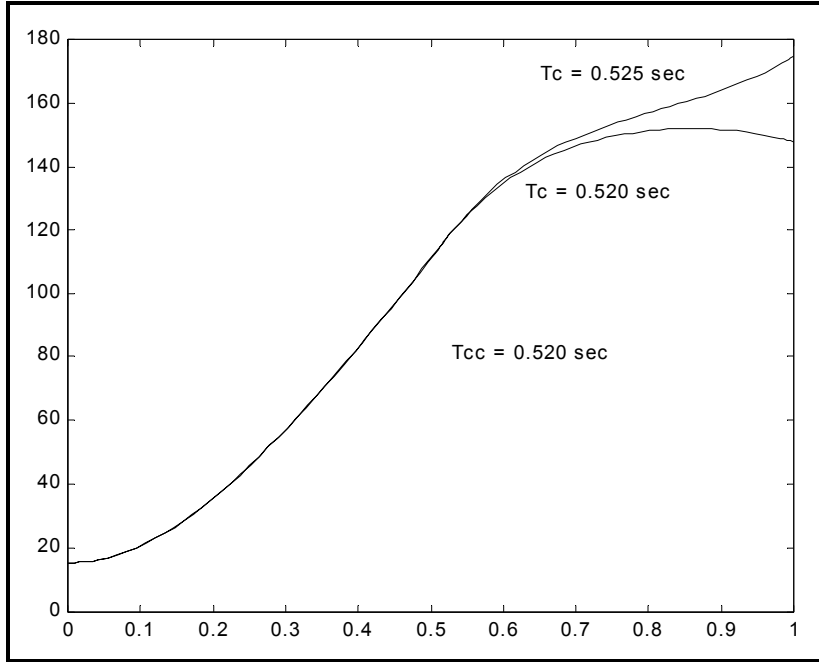
الشكل 12: شاشة الحوار الرئيسية لأجل الشبكة السورية (السويدية)

<b>Program STABILITY3</b>					
<b>Transient Stability Analysis by Transient Energy Function (TEF) Method</b>					
Designed by Prof. Dr.-Ing. Ali Hamzeh, Dipl.Eng. Ammar Saati					
أ.د. علي حمزة      م. محمد عمار ساعاتي					
Damascus University, Department of Electrical Engineering					
A part of Syrian Network			Date:03.04.2001		
<u>Input Data</u>					
Integration Step = .05 sec, Maximum Integration Period = 1.0 sec					
F	Pm	Pemax-Onfault	Pemax-Postfault	H-inertia	$\delta_0$
50 Hz	1.2 pu	1.0319 pu	3.2334 pu	7.77 sec	0.27 rad
<u>Results</u>					
$\delta_s = .3802218$ rad					
$V_{cr} = 3.147575$ pu					
t	$\delta$	$\omega$	V( $\delta, \omega$ )		
[Sec]	[Rad]	[Rad/sec]	[pu]		
0.0000	0.2700	0.0000	.....		
0.0500	0.2933	0.9273	0.0325		
0.1000	0.3620	1.8087	0.0810		
0.1500	0.4727	2.6026	0.1796		
0.2000	0.6202	3.2768	0.3479		
0.2500	0.7980	3.8134	0.6022		
0.3000	0.9992	4.2128	0.9480		
0.3500	1.2174	4.4948	1.3768		
0.4000	1.4474	4.6967	1.8681		
0.4500	1.6865	4.8692	2.3937		
0.5000	1.9348	5.0715	2.9237		
0.5500	2.1953	5.3683	3.4274		
<b>The calculation is continued with an integration step = .01 sec</b>					
0.5000	1.9348	5.0715	2.9241		
0.5100	1.9858	5.1212	3.0278		
0.5200	2.0373	5.1751	3.1303		
0.5300	2.0893	5.2339	3.2313		
<b>Exact result: <math>t_{cc} = 0.520</math> sec</b>					

الشكل 13: خرج البرنامج STABILITY3 لأجل الشبكة السورية

### الحل بالطريقة التقليدية

باستخدام STABILITY 1 وبالاستعانة ببرنامج ماتلاب /5/ ندخل معطيات الشبكة السورية ونختار طريقة Runge- Kutta ونجري الحساب لأزمان فصل متعددة، وندع الحاسوب يثبت آخر منحن مستقر وأول منحن غير مستقر (طريقة التجربة والخطأ). نستنتج أن زمن الفصل الحرج هو أيضا 520 ميلي ثانية (الشكل 14) كما في الطريقة الجديدة.



الشكل 14: منحنيات التآرجح لمولدات السويدية حسب الطريقة التقليدية

### 7 – استنتاجات

- يستخدم البحث طريقة غير تقليدية هي طريقة تابع الطاقة العابرة في تحليل الاستقرار العابر لنظام قدرة كهربائية ممثل بمولد وحيد يغذي شبكة خارجية تمثل بتوتر ثابت خلف مفاعلة تحسب بدلالة استطاعة القصر للباس الذي عنده اختصرت الشبكة الخارجية.
- يبين البحث أن طريقة تابع الطاقة العابرة أكثر دقة وتحتاج إلى زمن تحضير وحساب أقل من الطريقة التقليدية بنسبة 40% تقريباً.

- البرنامج المنجز مكتوب بلغة Delphi المتطورة وهي لغة عالية المستوى ومرئية وغرضية التوجه.
- يستخدم البرنامج طريقة Runge-Kutta لمعادلة التآرجح للنظام في أثناء العطل.
- خطوة الحساب قابلة للتغيير بسهولة من خلال نافذة البرنامج الرئيسية مما يسمح بإنجاز حساب أولي بخطوة كبيرة (لتقليص زمن الحساب) يعطي فكرة أولية عن  $t_{cc}$ . يتلو ذلك حساب بخطوة أصغر بهدف رصد قيمة أدق لـ  $t_{cc}$ .
- خرج البرنامج هو جدول يعطي قيم  $\delta$  و  $V(\delta, \omega)$  كتابع للزمن لكل خطوة تكامل، ويظهر مباشرة قيمة  $t_{cc}$  المطلوبة.
- هذه الورقة هي حسب علمنا أول نص باللغة العربية في موضوع البحث، ومن ثم فالبرنامج هو الأول من نوعه في القطر.
- البرنامج قيد التطوير حالياً ليكون قادراً على دراسة الاستقرار العابر بطريقة تابع الطاقة العابرة لنظام قدرة متعدد الآلات التزامنية.

## المراجع

- 1- حمزة، علي وساعاتي، محمد عمار: برنامج STABILITY1 بلغة Delphi لحساب الزمن الحرج لفصل الأعطال في نظم القدرة الكهربائية  
مجلة بحوث جامعة حلب – العدد 27 لعام 2000.
- 2- حمزة، علي وساعاتي، محمد عمار: برنامج STABILITY2 بلغة Delphi لتحليل الاستقرار العابر لنظام قدرة كهربائية متعدد الآلات  
مجلة بحوث جامعة حلب – العدد 29 لعام 2001.
- 3- P.Kundur : Power System Stability and Control  
McGraw-Hill 1994.
- 4- P.W. Sauer, M.H Pai : Power System Dynamics and Stability  
Prentice Hall 1998.
- 5/ H. Saadari: Power System Analysis  
Senior Consulting Editor 1999

تاريخ ورود البحث إلى مجلة جامعة دمشق: 2001/4/28.



## Computer Program STABILITY3 in Delphi for Transient Stability Analysis of Power Systems Using Transient Energy Function Method

Ali Hamzeh

M. Ammar Saati

Department of Electrical Engineering

FMEE

Damascus University

### Abstract

Transient stability studies are vital for operational planning of power systems. In transient stability, we are interested in computing the critical clearing time  $t_{cc}$  of a fault occurring on the power systems. The graphical analysis methods have failed to compute  $t_{cc}$ . Therefore the numerical analysis is used to solve the swing equations of generators. However, one disadvantage is that, depending on the size, complex and modeling refinement of the system, it may require huge computational effort.

This paper introduces an unconventional analytical method, namely Transient Energy Function (TEF) method, and proves the capacity of the method. The significant advantage of the used approach is that, integration of the swing equations is in principle limited only to the fault-on period.

The paper presents the mathematical model, the algorithm and the design and implementation of the developed Computer Program STABILITY3 in Delphi. The program has been tested successfully through many typical network, and used to study the transient stability of a part of the Syrian high voltage grid.

As far as our knowledge is concerned, the paper is considered as the first text in Arabic in this research area, and the developed program is also of the same order.